

Las investigaciones lingüísticas en el Mundo Hispánico
La Habana, 2019

Coherencia en las variedades en formación. Sobre la variedad intermedia del español andaluz

Juan Andrés Villena Ponsoda
Matilde Vida Castro
Álvaro Molina García



1

Introducción

Variedad intermedia español meridional

Cambios prestigiosos

Convergencia hacia el estándar español europeo

Ataque silábico

La escisión
fonemática de
 $/\theta^s/$

Coda silábica

Resilabificación
 $/s/ + /t/$

Introducción

Multilaterales

Multivariante de una
variedad

Guy y Hinskens 2016;
Tsiplakou y Cerruti 2019

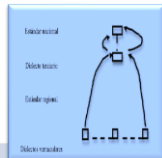
Forma y estructura dialectos

Unilaterales

Una variable en profundidad

Eckert 2012

Modificaciones y
reinterpretaciones estilísticas



Introducción

Multilateral

Variedad intermedia

Villena y Vida
2016, 2017, 2019
Villena 2019

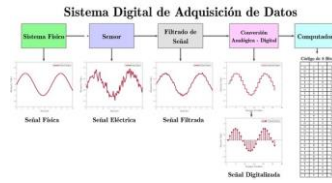
Unilaterales

2 análisis sociofonéticos

Vida 2018
Molina 2019

Fonética acústica

Corpus Presea-Ma 2



54	De 20 a 34 años		De 35 a 54 años		Más de 55 años	
	Hombres	Mujeres	Hombres	Mujeres	Hombres	Mujeres
Estudios primarios						
Estudios secundarios						
Estudios universitarios						

5

Escisión / θ^s / ataque

6

Escisión /θ^s/ ataque

Confusión de sibilantes

Mímesis estándar español europeo

Lasarte 2010, 2012; Regan 2018, Molina García 2019

Alteración dialectos andaluces de base

Escisión /θ^s/ ataque

Cuadro 1. Reducciones vivas en el español de Andalucía en el ataque silábico

	CACHA	CASA	CAZA	CAJA	CADA
['kaθa]			CECEO/SESEO		
['kaʃa]		SESEO EXTENDIDO			
['kaha]		HEHEO			
['ka·a]		ELISION DE /x/			

1. fricativas coronales (ceceo/seseo); 2. reducción de fricativas dentales y palatales (seseo extendido); 3. Posteriorización de /θ/ (heheo); 4. Cambio en cadena: elisión de /x/ y reducción de series con /x/ y con /d/ (Villena y Vida 2015, 2016, 2019; Villena 2019)

Escisión / θ^s / ataque

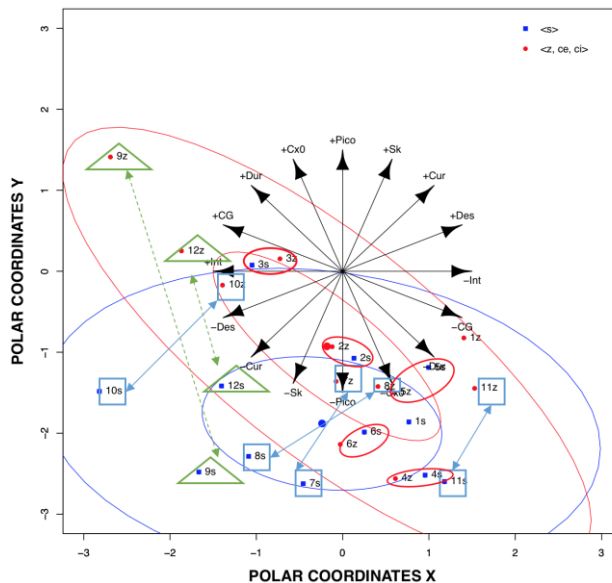
Fonética
acústica

Relación con la
estratificación
social

Avance del
proceso

Variación individual
Distancia acústica

Coordenadas polares



10

Variación de la distancia acústica de [s] y [θ] en función de cuatro grupos de informantes

Informante		Distancia	Desv. Típica	Significación
Jóvenes estudios superiores	4	2,25	1	.000
Mayores estudios superiores	4	1,4	0,2	
Jóvenes estudios básicos	4	0,55	0,4	
Mayores estudios básicos	4	0,4	0,1	
Total	12	4,6	1,7	

11

Resilabificación /-st/

12

Resilabificación /-st/

Debilitamiento
coda silábica

Muy avanzado

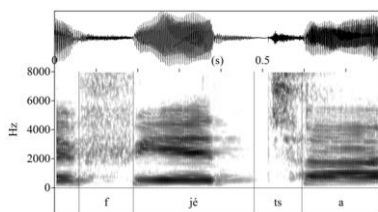
	Interior	Final
[s]	25 0,3%	478 1,8%
[h] [t ^h]	6554 90,1%	3909 14,8%
/ø/	695 9,6%	22036 83,4%
Total	7274 100%	26423 100%

Chi-cuadrado de Pearson 15110,435 (2)
Sig.: <0.001
V de Cramer: 0,670

Distribución variantes /-s/ según posición
Málaga-Corpus Preseaa 1990

13

Resilabificación /-st/



[¹fjɛt^sa]



Moya-Corral 2007
Ruch 2013
Tejada-Giráldez 2015
Vida-Castro 2015



14

Resilabificación /-st/

Cuadro 2 **Reducciones vivas en el español de Andalucía en la coda silábica**

CASTA CATA CACHA

[ka.ta]

[katsa]

1. Simplificación: 'kas.ta → 'kah.ta → 'ka.ta; 2. Resilabificación: 'ka.htha → 'ka.t̪ha → 'ka.t̪sa (Vida 2016; Vida y Villena 2017)

15

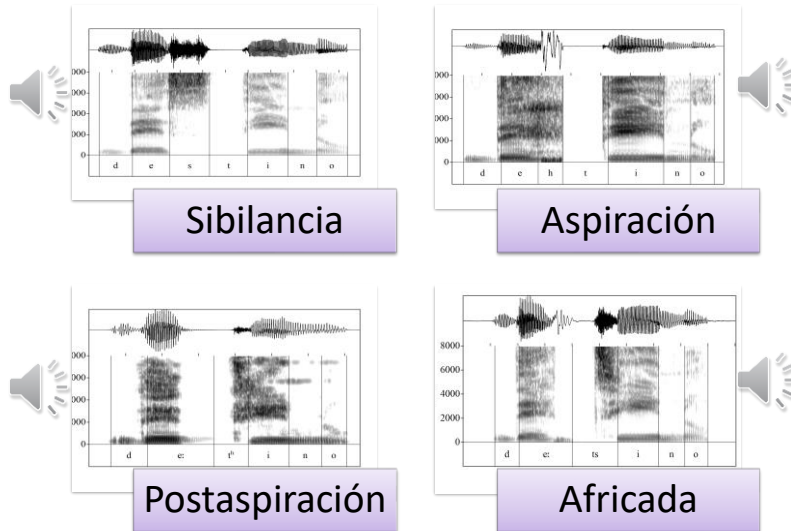
Resilabificación /-st/

fideli**dad** + no coda

Integrante virtual
variedad intermedia

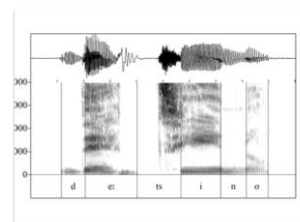
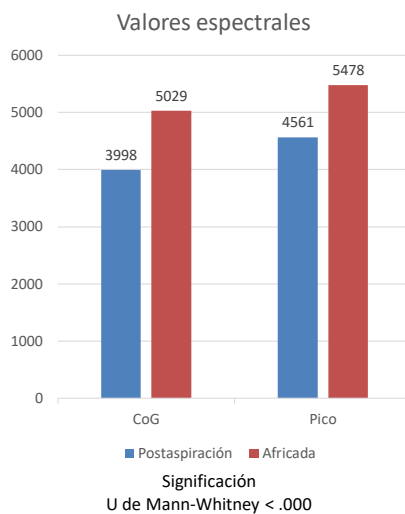
Proceso reinterpretación estilística

Resilabificación /-st/



17

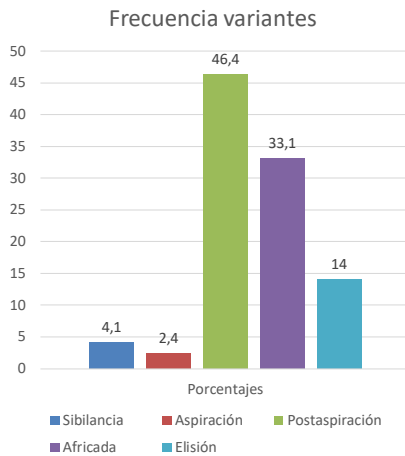
Resilabificación /-st/



	Postaspiración [tʰ]	Africada [ts]	Significación (U de Mann-Whitney)
Número de casos	1267	898	
Duración del ruido	0.04 ± 0.01	0.05 ± 0.01	.000
Centro de Gravedad	3998 ± 1277	5029 ± 1491	.000
Intensidad de pico	4561 ± 2247	5478 ± 2527	.000
Cruces por cero	46 ± 24	64 ± 27	.000

18

Resilabificación /-st/



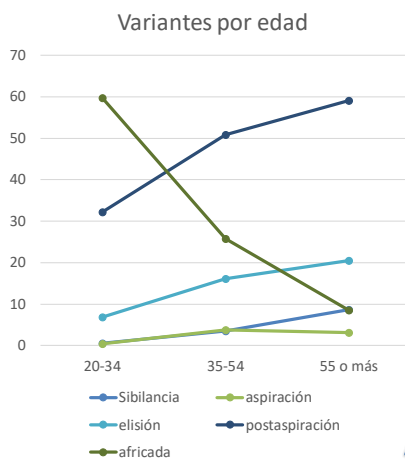
Frecuencia

	n	%
Sibilancia [s]	85	4,1
Aspiración [h]	50	2,4
Postaspiración [tʰ]	973	46,4
Africada [ts]	693	33,1
Pérdida [∅]	294	14
Total	2095	100

Alófonos /-st/

19

Resilabificación /-st/



Distribución

	20-34	35-54	55 o más	Total
Sibilancia [s]	5 0,6%	23 3,5%	57 8,7%	85 4,1%
Aspiración [h]	4 0,5%	25 3,8%	21 3,2%	50 2,4%
Elisión [∅]	54 6,9%	106 16,1%	134 20,5%	294 14%
Postaspiración [tʰ]	252 32,2%	334 50,8%	387 59,1%	973 46,4%
Resilabificación [s]	467 59,7%	170 25,8%	56 8,5%	693 33,1%
Total	782 100%	658 100%	655 100%	2095 100%

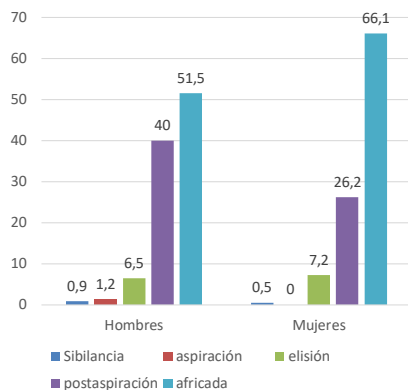
Coefficiente Chi cuadrado de Pearson: 482,89 (8). Sig.: <.001
V de Cramer: 3,39. Sig.: <.001

Alófonos /-st/

20

Resilabificación /-st/

Jóvenes
Variantes por sexo



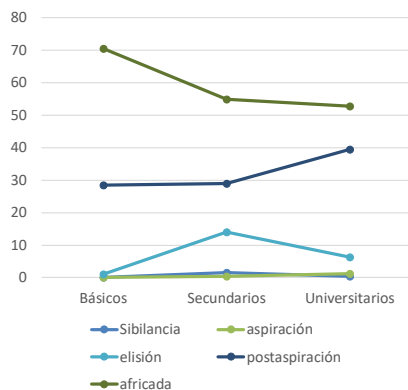
	Hombres	Mujeres	Total
Sibilancia [s]	3	2	5
	0.9%	0.5%	0.6%
Aspiración [h]	4	0	4
	1.2%	0%	0.5%
Elisión [Ø]	22	32	54
	6.5%	7.2%	6.9%
Postaspiración [h]	136	116	252
	40%	26.2%	32.2%
Resilabificación [ts]	175	292	467
	51.5%	66.1%	59.7%
Total	340	442	782
	100%	100%	100%

Coefficiente Chi cuadrado de Pearson: 24,057 (4). Sig.: < ,001
V de Cramer: .175. Sig.: < ,001

21

Resilabificación /-st/

Jóvenes
Variantes por estudios



	Básicos	Secundarios	Universitarios	Total
Sibilancia [s]	0	4	1	5
	0%	1.6%	0.4%	0.6%
Aspiración [h]	0	1	3	4
	0%	0.4%	1.2%	0.5%
Elisión [Ø]	3	35	16	54
	1.1%	14.1%	6.3%	6.9%
Postaspiración [h]	79	72	101	252
	28.4%	29%	39.5%	32.2%
Resilabificación [ts]	196	136	135	467
	70.5%	54.8%	52.7%	59.7%
Total	278	248	256	782
	100%	100%	100%	100%

Coefficiente Chi cuadrado de Pearson: 56,525 (8). Sig.: < ,001
V de Cramer: .269. Sig.: < ,001

22

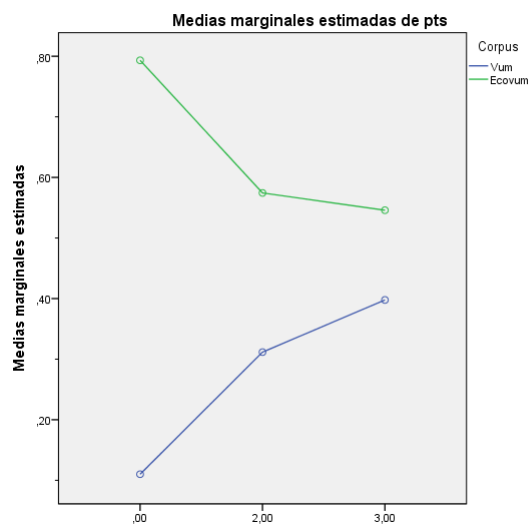
Estudio de panel

1995	De 20 a 34 años		De 35 a 54 años		Más de 55 años	
	Hombres	Mujeres	Hombres	Mujeres	Hombres	Mujeres
Estudios primarios						
Estudios secundarios						
Estudios universitarios						

2015	De 20 a 34 años		De 35 a 54 años		Más de 55 años	
	Hombres	Mujeres	Hombres	Mujeres	Hombres	Mujeres
Estudios primarios						
Estudios secundarios						
Estudios universitarios						

23

Estudio de panel



24

Resilabificación /-st/

Distribución
social
2 sincronías

Proceso de
reinterpretación
estilística

Enregisterment
Eckert 2012

25